



## کاربرد شیمی گارنت در بررسی‌های ترمودینامیکی تونالیت دهنو (شمال غرب مشهد)

رامین صمدی<sup>۱\*</sup>، حسن میرنژاد<sup>۲</sup>، نرگس شیردشت‌زاده<sup>۳</sup>، هیروشی کاواباتا<sup>۴</sup>

۱-دانشگاه آزاد اسلامی، واحد علوم و تحقیقات تهران، گروه زمین‌شناسی، تهران، ایران

۲-دانشکده زمین‌شناسی، پردیس علوم، دانشگاه تهران، تهران، ایران

۳-گروه زمین‌شناسی، دانشکده علوم، دانشگاه اصفهان، اصفهان، ایران

۴-موسسه مطالعه تحولات کره زمین، پخش علوم و فن آوری زمین - دریا، یوکوسوکا، ژاپن

(دریافت مقاله: ۸۹/۱۰/۳۰، نسخه نهایی: ۹۰/۳/۳۰)

چکیده: هورنبلند بیوتیت تونالیت غرب دهنو شامل کانی‌های کوارتز، پلازیوکلаз کلسیم‌دار (آندرزین تا لابرادوریت)، گارنت (عمدتاً آلماندین)، بیوتیت (آنیت تا سیدروفیلیت)، آمفیبول کلسیک (عمدتاً فروهورنبلند) و کانی‌های فرعی کلریت، اپیدوت، کلسیت و ایلمنیت است. با توجه به دما‌شارسنجی آمفیبول، پلازیوکلاز و همچین شیمی گارنت، که دارای میزان  $\text{CaO}$  در حدود ۴۹۱-۴۸۴ درصد وزنی و  $\text{MnO}$  در حدود ۱۸۹-۲۴۰ درصد وزنی است، گارنت‌ها در دما و فشاری به ترتیب در حدود ۶۹۶ تا ۹۵۰ درجه سانتی‌گراد و ۱۲/۶ تا ۱۲ کیلوبار و در عمق بیشتری نسبت به آمفیبول و پلازیوکلاز تبلور یافته‌اند.

واژه‌های کلیدی: تونالیت، دما، فشار، گارنت، دهنو، مشهد.

کانی‌های ارتوسیلیکاتی هستند که در محیط‌های زمین‌شناسی متنوعی یافت می‌شوند [۲]. در حقیقت کانی‌های گروه گارنت مشخص کننده‌ی سنگ‌های دگرگون هستند، ولی در بعضی از سنگ‌های آذرین به صورت اولیه و نیز به صورت دانه‌های تخریبی، در رسوب‌ها دیده می‌شوند.

در این پژوهش با توجه به اهمیت تعیین شرایط محیطی در بررسی‌های وابسته به پهنه‌های زمین‌شناسی، شرایط دما و فشار حاکم بر و شکل‌گیری سنگ‌های نفوذی بر اساس آنالیز ریزپردازشی کانی‌های مختلف منطقه براورد شده است. همچنین با توجه به حضور گارنت‌های درشت دانه درون سنگ‌های تونالیتی منطقه‌ی دهنو، این کانی در بررسی شرایط ترمودینامیکی حاکم بر منطقه مورد بررسی قرار گرفت تا شرایط دمایی و فشاری حضور آن در این سنگ‌ها مشخص شود.

مقدمه  
بررسی‌های زمین‌دماسنجی و زمین‌شارسنجی برای شناخت شرایط دما و فشار تشکیل سنگ‌ها، در دهه‌های اخیر به عنوان یک روش مفید مطرح شده‌اند. در این زمینه، تجربه‌های آزمایشگاهی دانشمندان، محاسبات و مدل‌سازی ترمودینامیکی، بر اساس تجزیه‌ی شیمیایی کانی‌ها با استفاده از ریزپردازندۀ الکترونی، به آگاهی بهتر شرایط دما و فشار حاکم بر سنگ‌ها در خلال فرایندهای زمین‌شناسی، کمک مؤثری کرده است. در واقع، این دما و فشارسنج‌ها بر اساس حساسیت توزیع عناصر در ساختار کانی‌ها و یا طی تبادلات شیمیایی، نسبت به دما و یا فشار طراحی شده‌اند [۱].

استفاده از ترکیب گارنت همواره به عنوان شاخص پتروزنیک در تعیین شرایط ترمودینامیکی مورد توجه بسیاری از پژوهشگران بوده است. گارنت‌ها یکی از مهم‌ترین گروه‌های

\* نویسنده مسئول، تلفن: ۰۹۱۴۷۲۹۱۰۴، پست الکترونیکی: rsamadi@hotmail.com

زون ساختاری بینالود و در راستای شرقی البرز، در حد فاصل طول های جغرافیایی  $22^{\circ} 59^{\prime}$  تا  $26^{\circ} 59^{\prime}$  شرقی و عرض های جغرافیایی  $36^{\circ} 20^{\prime}$  تا  $36^{\circ} 22^{\prime}$  شمالی قرار دارد (شکل ۱). در جنوب و جنوب غربی مشهد تا شمال دشت تربت جام، برونزدهای ناپیوسته ای از توده های گرانیتو بیضی با گستردگی  $40$  کیلومتر مربع و به صورت باریکه ای طویلی به طول  $40$  کیلومتر و به عرض  $10$  کیلومتر گسترش یافته است که اگر با توده های نفوذی دیگر جنوب غربی مشهد (وکیل آباد، گلستان، طرقبه) به صورت مشترک مورد توجه قرار گیرند، طول آنها به  $70$  کیلومتر می رسد. یقیناً این توده های گرانیتو بیضی که در یک راستای تقریبی شمال غربی - جنوب شرقی آرایش یافته اند، بخش های مرتفع یک باتولیت بسیار بزرگند که بخش هایی از آن هنوز رخنمون نیافته اند، بنابراین به دلیل ظاهر خطی و راستای آنها، شاید بتوان آن را یک باتولیت کردیلرائی در نظر گرفت که در زمان تزریق از یک خاستگاه در درون یک منطقه زمین چاک (suture zone) و طی برخورد ورقه ای توان با شمال شرقی ورقه ای ایران و بسته شدن پالقوتیس در اواخر پالئوزوئیک تزریق شده اند [۷-۳].

### روش بررسی

برای دست یابی به هدف های یاد شده در این پژوهش به جمع آوری، بررسی و ارزیابی اطلاعات موجود از منطقه و موارد مشابه در ایران و نقاط دیگر جهان پرداخته شد. سپس شواهد صحرائی مورد بررسی قرار گرفت و از  $8$  رخنمون مناسب توپالیت های منطقه نمونه برداری شد. برای آنالیز شیمیایی نمونه ها از میان مقاطع بررسی شده تعدادی مقطع انتخاب شدند و پس از آنکه سطح آنها با لایه ای از کربن پوشش داده شد، مورد بررسی ریز پردازشی قرار گرفتند. این آنالیزها با استفاده از ریز پردازنده JEOL مدل (WDS) JXA-8800F و JXA-8500F موسسه مطالعه های تحولات کره زمین (IFREE) در ژاپن و با ولتاژ  $15$  kV و  $15$  nA و  $15$  انجام گرفت. نتایج آنالیز وابسته به کانی های آمفیبیول، بیوتیت، پلازیو کلاز و گارنت به ترتیب در جدول های  $1$ ،  $2$ ،  $3$  و  $4$  آرائه شده اند.

### بحث و بررسی

#### زمین شناسی منطقه

منطقه های مورد بررسی در شمال شرقی ایران و در  $15$  کیلومتری شمال غربی شهر مشهد واقع شده است. این ناحیه در گسترهای

**جدول ۱** نتایج آنالیز ریز پردازشی آمفیبیول های موجود در توپالیت دهن (بر حسب  $23$  اتم اکسیژن و به صورت (a.p.f.u.)

Sample	DH <sub>2</sub> -Amp ۶۰۵	DH <sub>2</sub> -Amp ۶۰۶	DH <sub>2</sub> -Amp ۶۰۷	DH <sub>2</sub> -Amp ۶۱۰	DH <sub>2</sub> -Amp ۶۱۱	DH <sub>2</sub> -Amp ۶۱۲	DH <sub>2</sub> -Amp ۶۱۳	DH <sub>2</sub> -Amp ۶۱۴	DH <sub>2</sub> -Amp ۶۱۷
SiO <sub>2</sub>	۴۳,۵۶	۴۲,۰۸	۴۲,۴۳	۴۲,۳۳	۴۲,۸۱	۴۳,۰۵	۴۲,۴۸	۴۲,۸۵	۴۳,۱۷
TiO <sub>2</sub>	۱,۰۸	۱,۱۱	,۹۶	۱,۰۷	۱,۰۵	۱,۰۲	,۹۹	۱,۰۱	,۹۹
Al <sub>2</sub> O <sub>3</sub>	۱۰,۹۱	۱۱,۲۲	۱۱,۳۵	۱۱,۳۰	۱۱,۱۶	۱۰,۹۸	۱۰,۸۸	۱۰,۸۴	۱۰,۹۰
FeO	۱۹,۹۰	۱۹,۸۵	۱۹,۸۴	۱۹,۷۹	۲۰,۱۷	۲۰,۰۱	۱۹,۷۵	۱۹,۷۴	۲۰,۰۱
MnO	,۹۴	,۶۶	,۶۲	,۶۶	,۶۴	,۶۲	,۶۲	,۶۲	,۶۵
MgO	۷,۷۲	۷,۵۹	۷,۶۸	۷,۵۷	۷,۴۳	۷,۶۶	۸,۰۳	۷,۹۷	۷,۷۷
CaO	۱۱,۴۴	۱۱,۴۱	۱۱,۴۴	۱۱,۳۲	۱۱,۲۷	۱۱,۳۱	۱۰,۹۶	۱۱,۵۳	۱۱,۳۷
Na <sub>2</sub> O	,۹۷	۱,۱۱	,۹۸	۱,۱۲	۱,۰۷	۱,۰۷	۱,۳۴	۱,۰۰	,۹۹
K <sub>2</sub> O	۱,۱۱	۱,۱۶	۱,۰۷	,۹۶	۱,۰۵	۱,۰۴	,۹۴	,۹۸	,۹۷
Total	۹۷,۳۴	۹۷,۲۰	۹۷,۴۱	۹۷,۱۳	۹۶,۶۵	۹۶,۷۵	۹۶,۹۲	۹۶,۵۵	۹۶,۸۳
Si	۶,۰۹	۶,۵۴	۶,۵۵	۶,۵۶	۶,۵۳	۶,۵۵	۶,۵۶	۶,۵۳	۶,۵۵
Al <sup>IV</sup>	۱,۴۱	۱,۴۶	۱,۴۵	۱,۴۴	۱,۴۷	۱,۴۵	۱,۴۴	۱,۴۷	۱,۴۵
Al <sup>VI</sup>	,۵۳	,۰۵۵	,۰۵۷	,۰۵۸	,۰۵۳	,۰۵۲	,۰۵۰	,۰۴۸	,۰۵۰
Ti	,۱۲	,۰۱۳	,۰۱۱	,۰۱۲	,۰۱۲	,۰۱۲	,۰۱۱	,۰۱۲	,۰۱۱
Fe <sup>2+</sup>	۲,۱۳	۲,۱۵	۲,۰۹	۲,۱۱	۲,۱۴	۲,۱۰	۲,۰۰	۲,۰۱	۲,۰۵
Fe <sup>3+</sup>	,۰۳۸	,۰۳۷	,۰۴۰	,۰۳۹	,۰۴۲	,۰۴۳	,۰۴۷	,۰۵۱	,۰۴۸
Mn	,۰۰۸	,۰۰۸	,۰۰۸	,۰۰۸	,۰۰۸	,۰۰۸	,۰۰۸	,۰۰۸	,۰۰۸
Mg	۱,۷۴	۱,۷۲	۱,۷۳	۱,۷۱	۱,۶۹	۱,۷۴	۱,۸۱	۱,۸۱	۱,۷۶
Ca	۱,۸۶	۱,۸۶	۱,۸۵	۱,۸۴	۱,۸۴	۱,۸۳	۱,۷۸	۱,۸۹	۱,۸۵
Na	,۰۲۸	,۰۲۳	,۰۲۹	,۰۲۳	,۰۲۲	,۰۳۱	,۰۳۹	,۰۲۰	,۰۲۹
K	,۰۲۱	,۰۲۳	,۰۲۱	,۰۱۹	,۰۲۰	,۰۲۰	,۰۱۸	,۰۱۹	,۰۱۹
Total	۱۵,۳۵	۱۵,۴۰	۱۵,۳۳	۱۵,۳۵	۱۵,۳۵	۱۵,۲۲	۱۵,۳۲	۱۵,۳۷	۱۵,۳۲
Mg/(Mg+Fe <sup>2+</sup> )	,۰۴۵	,۰۴۴	,۰۴۵	,۰۴۵	,۰۴۴	,۰۴۵	,۰۴۸	,۰۴۷	,۰۴۶

**جدول ۲** نتایج آنالیز ریزپردازشی بیوتیت‌های موجود در تونالیت دهنو (بر حسب Wt%), محاسبه‌ی فرمول ساختاری (بر حسب ۲۲ اتم اکسیژن و به صورت (a.p.f.u.).

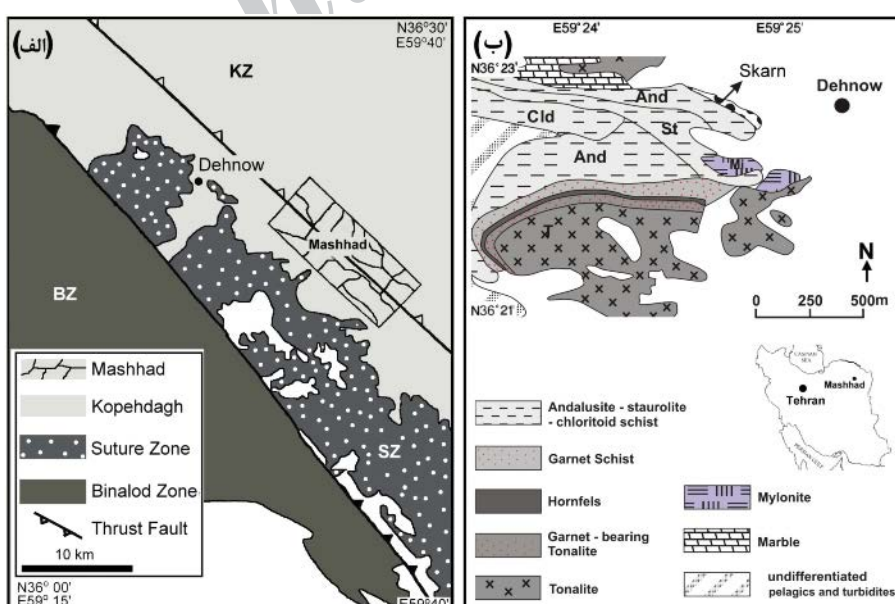
Sample	DH <sub>2</sub> -Bt ۶۲۳	DH <sub>2</sub> -Bt ۶۲۶	DH <sub>2</sub> -Bt ۶۲۷	DH <sub>2</sub> -Bt ۶۲۸	DH <sub>2</sub> -Bt ۶۳۰	DH <sub>2</sub> -Bt ۶۵۱	DH <sub>2</sub> -Bt ۶۵۳	DH <sub>2</sub> -Bt ۶۵۴	DH <sub>2</sub> -Bt ۶۵۵	DH <sub>2</sub> -Bt ۶۶۲
SiO <sub>2</sub>	۳۶,۴۳	۳۶,۴۳	۳۶,۰۳	۳۵,۶۰	۳۵,۸۳	۳۶,۰۳	۳۶,۱۵	۳۵,۶۸	۳۶,۱۹	۳۵,۸۸
TiO <sub>2</sub>	۱,۸۳	۱,۸۵	۱,۸۲	۲,۰۲	۱,۹۵	۱,۹۴	۱,۶۱	۱,۶۴	۱,۷۶	۲,۰۴
Al <sub>2</sub> O <sub>3</sub>	۱۷,۴۸	۱۷,۶۷	۱۷,۷۲	۱۷,۶۹	۱۸,۰۳	۱۷,۶۶	۱۷,۳۰	۱۷,۵۷	۱۷,۷۶	۱۷,۳۵
FeO	۲۰,۹۰	۲۱,۳۲	۲۱,۴۷	۲۱,۸۴	۲۱,۶۸	۲۱,۵۴	۲۱,۰۳	۲۱,۸۸	۲۱,۲۴	۲۱,۷۷
MnO	۰,۳۵	۰,۴۳	۰,۴۵	۰,۳۹	۰,۳۸	۰,۴۱	۰,۳۴	۰,۳۵	۰,۳۳	۰,۳۸
MgO	۸,۱۹	۸,۱۵	۸,۲۱	۸,۰۰	۸,۱۳	۸,۱۱	۸,۳۷	۸,۳۳	۸,۳۱	۸,۲۷
CaO	۰,۱۹	۰,۱۲	۰,۱۶	۰,۰۴	۰,۱۸	۰,۱۵	۰,۱۸	۰,۱۸	۰,۱۶	۰,۱۹
Na <sub>2</sub> O	۰,۱۶	۰,۰۹	۰,۱۷	۰,۰۹	۰,۰۹	۰,۱۰	۰,۱۳	۰,۱۰	۰,۱۳	۰,۱۲
K <sub>2</sub> O	۹,۷۴	۹,۷۴	۹,۴۶	۹,۴۳	۹,۴۶	۹,۱۳	۹,۴۶	۹,۴۳	۹,۴۳	۹,۰۱
Cr <sub>2</sub> O <sub>3</sub>	۰,۰۱	۰,۰۰	۰,۰۰	۰,۰۱	۰,۰۰	۰,۰۰	۰,۰۰	۰,۰۱	۰,۰۲	۰,۰۲
Total	۹۴,۷۷	۹۵,۳۱	۹۵,۳۹	۹۵,۱۱	۹۵,۵۴	۹۵,۲۶	۹۴,۴۵	۹۵,۰۷	۹۵,۲۲	۹۵,۰۲
Si	۵,۵۴	۵,۵۲	۵,۴۸	۵,۴۶	۵,۴۵	۵,۴۹	۵,۵۴	۵,۴۷	۵,۵۰	۵,۴۸
Al total	۳,۱۴	۳,۱۶	۳,۱۸	۳,۲۰	۳,۲۳	۳,۱۷	۳,۱۲	۳,۱۸	۳,۱۸	۳,۱۳
Al <sup>iv</sup>	۲,۴۶	۲,۴۸	۲,۵۲	۲,۵۴	۲,۵۵	۲,۵۱	۲,۴۶	۲,۵۳	۲,۵۰	۲,۵۲
Al <sup>vi</sup>	۰,۶۸	۰,۶۸	۰,۶۶	۰,۶۵	۰,۶۸	۰,۶۶	۰,۶۶	۰,۶۵	۰,۶۸	۰,۶۱
Ti	۰,۲۱	۰,۲۱	۰,۲۱	۰,۲۳	۰,۲۲	۰,۱۹	۰,۱۹	۰,۲۰	۰,۲۰	۰,۲۳
Cr	۰,۰۰	۰,۰۰	۰,۰۰	۰,۰۰	۰,۰۰	۰,۰۰	۰,۰۰	۰,۰۰	۰,۰۰	۰,۰۰
Fe	۲,۶۶	۲,۷۰	۲,۷۳	۲,۸۰	۲,۷۶	۲,۷۴	۲,۶۹	۲,۸۱	۲,۷۰	۲,۷۸
Mn	۰,۰۵	۰,۰۶	۰,۰۶	۰,۰۵	۰,۰۵	۰,۰۴	۰,۰۵	۰,۰۴	۰,۰۵	۰,۰۵
Mg	۱,۸۶	۱,۸۴	۱,۸۶	۱,۸۳	۱,۸۴	۱,۸۴	۱,۹۱	۱,۹۰	۱,۸۸	۱,۸۸
Ca	۰,۰۳	۰,۰۲	۰,۰۳	۰,۰۱	۰,۰۱	۰,۰۲	۰,۰۳	۰,۰۱	۰,۰۳	۰,۰۳
Na	۰,۰۵	۰,۰۳	۰,۰۵	۰,۰۳	۰,۰۳	۰,۰۴	۰,۰۳	۰,۰۴	۰,۰۴	۰,۰۴
K	۱,۷۹	۱,۷۹	۱,۸۲	۱,۸۴	۱,۸۲	۱,۸۱	۱,۸۳	۱,۸۴	۱,۸۱	۱,۷۶
Total	۱۵,۳۲	۱۵,۳۲	۱۵,۴۱	۱۵,۴۴	۱۵,۴۱	۱۵,۳۸	۱۵,۳۹	۱۵,۴۸	۱۵,۳۸	۱۵,۳۸
Fe/Fe+Mg	۰,۵۹	۰,۵۹	۰,۵۹	۰,۶۰	۰,۶۰	۰,۵۹	۰,۶۰	۰,۵۹	۰,۶۰	۰,۶۰

**جدول ۳** نتایج آنالیز ریزپردازشی پلازیوکلазهای موجود در تونالیت دهنو (بر حسب Wt%), محاسبه‌ی فرمول ساختاری (بر حسب ۸ اتم اکسیژن و به صورت (a.p.f.u.) و محاسبه‌ی مقادیر اعضای نهایی آنها.

Sample	DH <sub>2</sub> -Pl ۶۲۰	DH <sub>2</sub> -Pl ۶۲۴	DH <sub>2</sub> -Pl ۶۲۵	DH <sub>2</sub> -Pl ۶۲۹	DH <sub>2</sub> -Pl ۶۵۲	DH <sub>2</sub> -Pl ۶۵۶	DH <sub>2</sub> -Pl ۶۵۷	DH <sub>2</sub> -Pl ۶۵۹	DH <sub>2</sub> -Pl ۶۶۱	DH <sub>2</sub> -Pl ۶۶۵
SiO <sub>2</sub>	۵۶,۲۲	۵۴,۹۶	۵۴,۶۴	۵۴,۹۶	۵۳,۹۷	۵۵,۲۴	۵۵,۸۴	۵۵,۲۲	۵۵,۰۸	۵۶,۴۷
Al <sub>2</sub> O <sub>3</sub>	۲۷,۵۹	۲۷,۹۵	۲۸,۴۶	۲۷,۸۵	۲۸,۸۳	۲۸,۱۰	۲۷,۵۰	۲۷,۷۹	۲۸,۴۶	۲۷,۹
FeO	۰,۰۶	۰,۱۹	۰,۲۰	۰,۵۷	۰,۴۱	۰,۲۳	۰,۴۰	۰,۲۲	۰,۱۶	۰,۰۵
MnO	۰,۰۱	۰,۰۰	۰,۰۰	۰,۰۲	۰,۰۱	۰,۰۰	۰,۰۰	۰,۰۲	۰,۰۱	۰,۰۰
MgO	۰,۰۱	۰,۰۱	۰,۰۳	۰,۱۱	۰,۰۴	۰,۰۱	۰,۰۴	۰,۰۳	۰,۰۵	۰,۰۰
CaO	۹,۴۶	۱۰,۴۱	۱۰,۸۷	۹,۹۶	۱۱,۰۳	۹,۹۶	۹,۵۳	۱۰,۳۳	۱۰,۵۰	۹,۲۰
Na <sub>2</sub> O	۶,۰۹	۵,۶۱	۵,۵۴	۵,۸۲	۵,۱۶	۵,۶۹	۶,۱۸	۵,۹۰	۵,۵۶	۶,۱۷
K <sub>2</sub> O	۰,۰۹	۰,۱۳	۰,۰۷	۰,۲۱	۰,۱۴	۰,۰۹	۰,۱۴	۰,۱۰	۰,۰۸	۰,۰۹
Total	۹۹,۵۴	۹۹,۲۸	۹۹,۸۱	۹۹,۵۱	۹۹,۶۴	۹۹,۳۲	۹۹,۶۴	۹۹,۵۴	۹۹,۹۲	۹۹,۰۸
Si	۲,۵۴	۲,۵۰	۲,۴۷	۲,۶۹	۲,۴۵	۲,۵۰	۲,۵۲	۲,۵۰	۲,۴۸	۲,۵۶
Al	۱,۴۷	۱,۵۰	۱,۵۲	۱,۷۹	۱,۵۴	۱,۵۰	۱,۴۶	۱,۴۸	۱,۵۱	۱,۴۴
Fe	۰,۰۰	۰,۱	۰,۰۱	۰,۰۲	۰,۰۲	۰,۰۱	۰,۰۲	۰,۰۱	۰,۰۱	۰,۰۰
Mn	۰,۰۰	۰,۰۰	۰,۰۰	۰,۰۰	۰,۰۰	۰,۰۰	۰,۰۰	۰,۰۰	۰,۰۰	۰,۰۰
Mg	۰,۰۰	۰,۰۰	۰,۰۰	۰,۰۱	۰,۰۰	۰,۰۰	۰,۰۰	۰,۰۰	۰,۰۰	۰,۰۰
Ca	۰,۴۶	۰,۵۱	۰,۵۳	۰,۴۸	۰,۴۶	۰,۴۸	۰,۴۶	۰,۵۰	۰,۵۱	۰,۴۵
Na	۰,۵۳	۰,۴۹	۰,۴۹	۰,۵۱	۰,۴۵	۰,۵۰	۰,۴۵	۰,۵۲	۰,۴۹	۰,۵۴
K	۰,۰۱	۰,۰۱	۰,۰۰	۰,۰۱	۰,۰۱	۰,۰۱	۰,۰۱	۰,۰۱	۰,۰۰	۰,۰۱
Total	۵,۰۰	۵,۰۱	۵,۰۱	۵,۰۲	۵,۰۱	۵,۰۰	۵,۰۲	۵,۰۲	۵,۰۰	۴,۹۹
Anorthite	۰,۴۶	۰,۵۰	۰,۵۲	۰,۴۸	۰,۴۶	۰,۴۹	۰,۴۶	۰,۴۹	۰,۵۱	۰,۴۵
Albite	۰,۵۴	۰,۴۹	۰,۴۸	۰,۵۱	۰,۴۵	۰,۵۱	۰,۴۵	۰,۵۱	۰,۴۹	۰,۵۵
Orthose	۰,۰۱	۰,۰۱	۰,۰۰	۰,۰۱	۰,۰۱	۰,۰۱	۰,۰۱	۰,۰۱	۰,۰۰	۰,۰۱

جدول ۴ نتایج آنالیز ریزپردازشی گارنت‌های موجود در تونالیت دهنو (بر حسب Wt%), محاسبه‌ی فرمول ساختاری (بر حسب ۱۲ اتم اکسیژن و بهصورت a.p.f.u.) و محاسبه‌ی مقادیر اعضای نهایی آنها.

Sample	DH <sub>2</sub> -Grt ۶۳۶	DH <sub>2</sub> -Grt ۶۳۷	DH <sub>2</sub> -Grt ۶۳۸	DH <sub>2</sub> -Grt ۶۳۹	DH <sub>2</sub> -Grt ۶۴۰	DH <sub>2</sub> -Grt ۶۴۱	DH <sub>2</sub> -Grt ۶۴۳	DH <sub>2</sub> -Grt ۶۴۴	DH <sub>2</sub> -Grt ۶۴۵	DH <sub>2</sub> -Grt ۶۴۶	DH <sub>2</sub> -Grt ۶۴۷	DH <sub>2</sub> -Grt ۶۴۸
<b>SiO<sub>2</sub></b>	۳۸.۳۹	۳۸.۲۶	۳۸.۳۸	۳۸.۳۵	۳۸.۰۹	۳۸.۳۸	۳۸.۴۳	۳۸.۲۲	۳۸.۰۵	۳۸.۳۱	۳۸.۰۸	۳۸.۱۲
<b>TiO<sub>2</sub></b>	۰.۱۱	۰.۳۵	۰.۲۷	۰.۲۷	۰.۱۳	۰.۲۶	۰.۰۹	۰.۱۲	۰.۲۶	۰.۳۳	۰.۳۴	۰.۱۶
<b>Al<sub>2</sub>O<sub>3</sub></b>	۲۱.۶۱	۲۱.۲۵	۲۱.۴۶	۲۱.۴۰	۲۱.۵۲	۲۱.۳۲	۲۱.۵۸	۲۱.۱۲	۲۱.۳۳	۲۱.۲۷	۲۱.۱۷	۲۱.۳۰
<b>FeO</b>	۲۹.۳۸	۲۸.۷۰	۲۹.۰۷	۲۸.۸۸	۲۸.۶۸	۲۸.۸۷	۲۸.۹۸	۲۸.۶۲	۲۸.۷۵	۲۹.۲۱	۲۸.۹۲	۲۹.۳۸
<b>MnO</b>	۲.۳۸	۲.۲۵	۲.۳۳	۱.۹۸	۲.۳۴	۱.۸۹	۲.۲۹	۲.۳۷	۲.۴۰	۲.۴۰	۲.۳۱	۲.۳۳
<b>MgO</b>	۴.۱۵	۴.۳۲	۴.۴۹	۴.۹۸	۴.۸۱	۴.۹۳	۴.۷۹	۴.۵۱	۴.۵۷	۴.۵۶	۴.۳۵	۴.۳۶
<b>CaO</b>	۴.۹۱	۵.۴۷	۵.۱۱	۵.۲۳	۴.۹۱	۵.۰۴	۵.۱۰	۵.۰۳	۵.۲۰	۵.۰۰	۵.۴۸	۵.۰۷
<b>Na<sub>2</sub>O</b>	۰.۰۰	۰.۱۴	۰.۰۰	۰.۰۰	۰.۰۱	۰.۰۲	۰.۰۰	۰.۰۱	۰.۰۲	۰.۰۱	۰.۰۰	۰.۰۱
<b>K<sub>2</sub>O</b>	۰.۰۱	۰.۰۰	۰.۰۰	۰.۰۱	۰.۰۰	۰.۰۰	۰.۰۰	۰.۰۰	۰.۰۰	۰.۰۰	۰.۰۰	۰.۰۰
<b>Cr<sub>2</sub>O<sub>3</sub></b>	۰.۰۰	۰.۰۰	۰.۰۰	۰.۰۰	۰.۰۰	۰.۰۰	۰.۰۱	۰.۰۰	۰.۰۰	۰.۰۰	۰.۰۰	۰.۰۱
<b>Total</b>	۱۰۰.۹۳	۱۰۰.۶۵	۱۰۰.۱۲	۱۰۰.۹۱	۱۰۰.۵۰	۱۰۰.۷۲	۱۰۰.۲۷	۱۰۰.۰۲	۱۰۰.۵۹	۱۰۰.۰۹	۱۰۰.۶۵	۱۰۰.۷۴
<b>Si</b>	۳.۰۱	۳.۰۰	۳.۰۰	۲.۹۹	۲.۹۹	۳.۰۰	۲.۹۹	۳.۰۲	۲.۹۹	۳.۰۰	۲.۹۹	۲.۹۹
<b>Al<sup>iv</sup></b>	۰.۰۰	۰.۰۰	۰.۰۰	۰.۰۱	۰.۰۱	۰.۰۰	۰.۰۱	۰.۰۰	۰.۰۱	۰.۰۰	۰.۰۱	۰.۰۱
<b>Al<sup>vi</sup></b>	۲.۰۰	۱.۹۷	۱.۹۷	۱.۹۶	۱.۹۸	۱.۹۷	۱.۹۸	۱.۹۷	۱.۹۶	۱.۹۶	۱.۹۵	۱.۹۷
<b>Ti</b>	۰.۰۱	۰.۰۲	۰.۰۲	۰.۰۲	۰.۰۱	۰.۰۲	۰.۰۱	۰.۰۱	۰.۰۲	۰.۰۲	۰.۰۱	۰.۰۱
<b>Fe<sup>2+</sup></b>	۱.۹۳	۱.۸۸	۱.۸۹	۱.۸۵	۱.۸۷	۱.۸۷	۱.۸۷	۱.۸۸	۱.۸۷	۱.۸۹	۱.۸۸	۱.۹۱
<b>Fe<sup>3+</sup></b>	۰.۰۰	۰.۰۱	۰.۰۱	۰.۰۲	۰.۰۱	۰.۰۱	۰.۰۲	۰.۰۱	۰.۰۲	۰.۰۲	۰.۰۲	۰.۰۲
<b>Mn</b>	۰.۱۶	۰.۱۵	۰.۱۵	۰.۱۳	۰.۱۶	۰.۱۳	۰.۱۵	۰.۱۶	۰.۱۶	۰.۱۶	۰.۱۵	۰.۱۵
<b>Mg</b>	۰.۴۸	۰.۵۱	۰.۵۲	۰.۵۸	۰.۵۶	۰.۵۷	۰.۵۶	۰.۵۳	۰.۵۴	۰.۵۳	۰.۵۱	۰.۵۱
<b>Ca</b>	۰.۴۱	۰.۴۶	۰.۴۳	۰.۴۴	۰.۴۱	۰.۴۲	۰.۴۳	۰.۴۳	۰.۴۴	۰.۴۲	۰.۴۶	۰.۴۳
<b>Total</b>	۷.۹۹	۷.۹۹	۷.۹۹	۸.۰۰	۸.۰۰	۷.۹۹	۸.۰۰	۷.۹۹	۸.۰۰	۸.۰۰	۸.۰۰	۸.۰۰
<b>Almandine</b>	۶۴.۷۴	۶۲.۳۶	۶۲.۸۶	۶۱.۵۰	۶۲.۱۶	۶۲.۲۳	۶۲.۱۶	۶۲.۳۹	۶۲.۱۱	۶۲.۶۷	۶۲.۲۰	۶۲.۴۳
<b>Pyrope</b>	۱۶.۲۱	۱۷.۰۷	۱۷.۰۱	۱۷.۰۱	۱۹.۴۳	۱۸.۸۲	۱۹.۳۴	۱۸.۸۰	۱۷.۸۹	۱۷.۹۲	۱۷.۸۸	۱۷.۱۰
<b>Grossular</b>	۱۳.۷۸	۱۵.۰۹	۱۳.۹۴	۱۳.۷۳	۱۳.۳۳	۱۳.۴۹	۱۳.۴۱	۱۳.۸۱	۱۳.۷۶	۱۳.۰۷	۱۴.۲۵	۱۳.۲۹
<b>Spessartine</b>	۵.۲۸	۵.۰۵	۵.۱۸	۴.۴۰	۵.۲۱	۴.۲۱	۵.۰۴	۵.۳۵	۵.۳۳	۵.۳۴	۵.۱۶	۵.۱۸
<b>Andradite</b>	۰.۰۰	۰.۴۲	۰.۴۳	۰.۹۳	۰.۴۸	۰.۷۲	۰.۷۹	۰.۵۵	۰.۸۸	۱.۰۴	۱.۱۷	۰.۹۷
<b>Uvarovite</b>	۰.۰۰	۰.۰۱	۰.۰۰	۰.۰۰	۰.۰۰	۰.۰۲	۰.۰۰	۰.۰۰	۰.۰۰	۰.۰۰	۰.۰۰	۰.۰۰



شکل ۱ نقشه‌ی زمین‌شناسی (الف) گستره‌های ساختاری اصلی در شمال شرقی ایران، (ب) موقعیت منطقه‌ی مورد بررسی در نقشه‌ی زمین‌شناسی ایران و نقشه‌ی زمین‌شناسی منطقه‌ی مورد بررسی [= Suture Zone; KZ = Kopehdagh Zone]

نشانی از تأثیر دگرگونی‌های ناحیه‌ای بعدی روی مجموعه‌ی نفوذی منطقه است.

در بررسی میکروسکوپی توده‌ی تونالیتی دهنو، اندازه متوسط دانه‌ها در حدود ۱ میلیمتر است. بافت موجود در این سنگ‌ها نیمه شکل‌دار دانه‌ای است. کانی‌های اصلی تشکیل دهنده‌ی تونالیت؛ پلاژیوکلاز، کوارتز، بیوتیت، فلدسپار پتاسیم و هورنبلندسبزند (شکل ۲-ب) و به مقدار کم پیروکسن نیز در آنها مشاهده می‌شود. علاوه بر کانی‌های نامبرده، درشت بلورهای گارنت، کانی‌های کدر (ایلمنیت) و زیرکن به صورت ادخال در بیوتیتها با هاله‌ی پلئوکروئیک و آپاتیت نیز به صورت منفرد و یا ادخال درون بیوتیتها در برخی مقاطع به عنوان کانی‌های فرعی وجود دارند. کانی‌های ثانوی موجود در تونالیت شامل مسکوویت، کلریت، اپیدوت و کلسیت‌اند که همه‌ی آنها حاصل دگرسانی کانی‌های آمفیبیول، بیوتیت و پلاژیوکلاز هستند (شکل ۲-ب).

کوارتز: ۲۰ تا ۲۵ درصد از حجم سنگ را کوارتزهای بی‌شکل با ابعاد متغیر، بافت موزاییکی و با خاموشی موجی همراه با ادخال‌های پلاژیوکلاز تشکیل می‌دهند. کوارتزها ساختار تغییر شکل یافته داشته و در برخی از مواد ادخال‌های سیال در آنها توسط [۱۲] گزارش شده است. این کانی‌ها به صورت انباستی از بلورهای ریز دانه نیز دیده می‌شوند (شکل ۲-ب).

آمفیبیول: بلورهای آمفیبیول با اندازه‌ی تقریبی ۳ میلیمتر، هم اندازه و تقریباً منشوری شکل با فراوانی نسبی ۱ تا ۳ درصد هستند که گاهی ماکل تیغه‌ای و چندرنگی نشان می‌دهند. برخی از آمفیبیول‌ها در اثر دگرگونی ضعیفی، در حاشیه به بیوتیت و کلریت تبدیل شده‌اند. تعدادی از بلورهای آمفیبیول بافت پوکیلیتیک داشته و دارای ادخال‌هایی از کوارتز، پلاژیوکلاز و بیوتیت هستند (شکل ۲-پ).

نتایج آنالیز ریزپردازشی آمفیبیول‌ها همراه با محاسبه‌ی فرمول ساختاری آنها در جدول ۱ آورده شده‌اند. محاسبه‌ی فرمول ساختاری آمفیبیول‌ها بر اساس ۲۳ اتم اکسیژن و ۱۳ کاتیون بوده و با استفاده از روش [۲۰] انجام گرفته است. مقدار  $\text{Fe}^{3+}$  نیز به روش عنصرسنجی [۲۱] بدست آمد. با توجه به شکل ۳-پ ([۲۰]), ترکیب آمفیبیول‌های وابسته به تونالیت دهنو از نوع آمفیبیول‌های کلسیک و فروهورنبلند تا فروچرماتیک است.

این تونالیت‌ها تاکنون توسط سیاری از پژوهشگران مورد بررسی قرار گرفته‌اند. از آن جمله می‌توان به بررسی‌های [۸-۳-۹-۱۱-۱۶] اشاره کرد. این پژوهش‌ها زمینه‌ی مناسبی را برای بررسی‌های سنگ‌شناسی و شیمیابی نوین درباره سنگ‌های گرانیتوییدی و دگرگونی ناحیه مشهد فراهم آورده است.

در بررسی‌های سن‌سنجی [۱۷] به روش پتاسیم - آرگن روی بلورهای میکا، سن گرانیت‌های منطقه‌ی مشهد، ۱۲۰، ۱۳۵، ۱۴۵، ۱۴۶ (۳±) میلیون سال پیش (واخر ژوراسیک تا کرتاسه زیرین) معرفی شده است. [۹] با توجه به شواهد زمین‌شناسی و سن‌یابی، فازهای اولیه دگرگونی و گرانیت‌زایی را با کوهزایی هرسینین وابسته دانسته، که بعدها در تریاس میانی تحت تأثیر فاز سیمرین پیشین قرار گرفته است. [۱۰] بر اساس روش سن‌سنجی پتاسیم - آرگن سنی معادل ۲۴۵-۲۵۶ میلیون سال پیش (واخر پرمین تا تریاس زیرین) را پیشنهاد کرده است. در بررسی اخیر توسط [۱۶] و بر اساس روش اورانیم - سرب زیرکن، سن  $215 \pm 5$  میلیون سال پیش (تریاس بالایی، نورین) به دست آمده است. با توجه به نتایج غالب داده‌های سن‌سنجی جدید، جایگیری توده‌ی تونالیتی، به اوایل تا اواخر مژوزوئیک می‌رسد.

بر اساس بررسی‌های صحرایی، سنگ‌نگاری و نیز بنابر رده‌بندی‌های کانی‌شناسی، توده‌ی نفوذی دهنو از دو واحد تونالیتی و گرانوڈیوریتی تشکیل شده است که مرز مشخصی بین این واحدها وجود ندارد و در کل آنها را سنگ‌های گرانیتوییدی دهنو می‌نامیم. این توده دارای ترکیبی متغیر از تونالیت تا گرانوڈیوریت است [۱۴-۱۸] که می‌تواند به دلیل آلایش ماقمای تونالیتی با مواد فلزیک پوسته‌ی زیرین [۱۹] و نیز تا حدودی مربوط به دگرسانی‌های بعدی باشد. جایگیری این توده در شیسته‌های منطقه، منجر به تشکیل باریکه‌ای از هورنفلس در فاصله‌ای در حدود ۲۰۰ متری از مرز توده با شیسته‌ها شده است.

### سنگ‌نگاری و شیمی کانی‌های تونالیت

تونالیت‌های بیوتیت‌دار مژوزوئیک دهنو با رنگ خاکستری روشن در زون محوری چین‌های نسل دوم [۱۲]، در سنگ‌هایی با درجه‌ی دگرگونی کم تا نسبتاً بالا و نیز در سنگ‌های کربناتی جایگیری کرده‌اند (شکل ۱). برگوارگی ضعیفی نیز در بخش‌هایی از توده‌ی تونالیتی مشاهده می‌شود (شکل ۲-الف) که



شکل ۲ (الف) نمایی از تونالیت منطقه‌ی دهنو که به رنگ خاکستری و دانه متوسط است؛ (ب) تصویر مقطع میکروسکوپی (XPL) آمفیبول، پلازیوکلاز، بیوتیت، مسکوویت و کوارتز؛ (پ) تصویر مقطع میکروسکوپی (PPL) آمفیبول و بیوتیتها؛ (ت) تصویر گارنت با ابعاد حدود ۱ تا ۲ سانتی‌متر که طی فرسایش به صورت گرد شده درآمده و در سطح تونالیت نمایان شده است؛ (ث) تصویر گارنت موجود در تونالیت که دارای ادخال‌هایی از بیوتیت، کوارتز و پلازیوکلاز است.

پذیرفت (جدول ۲). بیوتیتها در نمودار رده‌بندی میکاها (برگرفته از [۲۲]) بیشتر در گستره‌ی بین ترکیب آنیت تا سیدروفلیلیت قرار می‌گیرند (شکل ۳-ب). سیدروفلیلیت قرار گرفته از پلازیوکلазها ۴۵ تا ۵۰ درصد سنگ را تشکیل می-دهند و به صورت نیمه خودشکل تا خودشکل و دارای ماکل پریکلین و کارلسپادند (شکل ۲-ب). پلازیوکلازها سوسوریتی شده‌اند و بیشترین دگرسانی در مرکز آنها صورت گرفته است. پلازیوکلازها به صورت غالب با منطقه‌بندی نرمال تا نوسانی بوده (An<sub>45-54</sub>) و بیشتر از نوع پلازیوکلازهای آندزین-لابرادوریت هستند (شکل ۳-الف). نتایج آنالیز این کانی در جدول ۳ آورده

بیوتیت: بیوتیتها با فراوانی نسبی ۱۵ تا ۲۰ درصد، به صورت نیمه خودشکل با اندازه‌ی تقریبی ۲ تا ۳ میلی‌متر و به صورت بی‌شکل با اندازه‌ی ۱ میلی‌متر دیده می‌شوند. چندنگی شدیدی از قهوه‌ای روشن تا قهوه‌ای تیره و بافت پویکیلیتیک نشان داده و به صورت دسته‌هایی از دانه‌های کوچک پیرامون گارنت و آمفیبول با ادخال‌هایی از پلازیوکلاز و زیرکن مشاهده می‌شوند (شکل ۲-ب). در نمونه‌های مورد بررسی بیوتیتها کلریتی شده و در تعدادی از نمونه‌ها هم‌رشدی بیوتیت و آمفیبول را نیز مشاهده می‌کنیم (شکل ۲-پ). محاسبه‌ی فرمول ساختاری بیوتیتها بر اساس ۲۲ اتم اکسیژن صورت

گارنتهای دارای  $\text{CaO} < 4\text{wt\%}$  دارای خاستگاه متاپلیتی هستند (مانند گارنت موجود در سنگ‌های دگرگون منطقه، جدول‌های ۴، ۳ و ۵ در [۸]). بنابر بررسی‌های جدید توسط [۲۴]، بزرگی دانه‌های گارنت تونالیت (یک تا دو سانتی‌متر، شکل ۲-ت) و ریزدانه بودن گارنت سنگ‌های دگرگون مجاور (در حدود دو میلیمتر، [۸])، و شواهد ترکیبی و شیمیایی آنها (شکل ۲-ت) بیانگر ماهیت متفاوت و مگماهی فنوکریستهای گارنت تونالیت دهنو هستند. بنابراین به کارگیری شیمی این کانی در بررسی‌های ترمودینامیکی سنگمیزان آن با توجه به استفاده از آنالیز حاشیه‌ی گارنتها ممکن و میسر است.

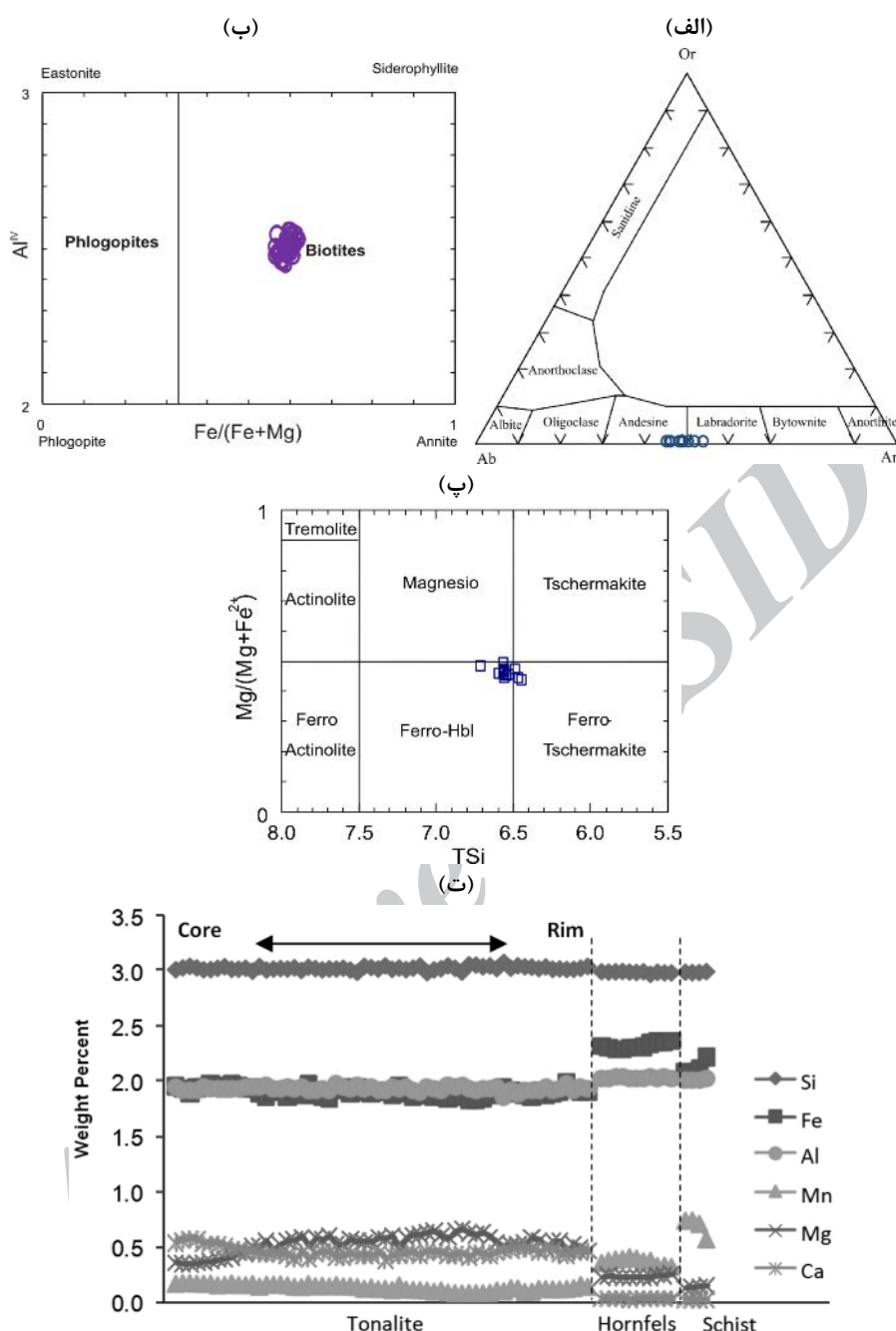
#### زمین دما-فشارسنجدی تونالیت

به طور کلی بنابر بررسی‌های [۲۶] تونالیتها سنگ‌هایی هستند که در شرایط فشار حدود ۶ تا ۹ کیلوبار و دمای ۷۰۰ الی ۹۰۰ درجه‌ی سانتی‌گراد تشکیل می‌شوند. با توجه به این‌که روش فشارسنجدی آلومینیم در آمفیبیول [۲۷] جدیدتر بوده و برای تونالیت مقادیر دقیق‌تری را ارائه می‌کند، در اینجا از نتایج این روش استفاده شد، و به این ترتیب میانگین گستره‌ی فشار برای تشکیل آمفیبیول موجود در تونالیت  $6/4$  کیلوبار، با عمق میانگینی در حدود  $22/4$  کیلومتر پیشنهاد می‌شود [۲۳]. بر اساس این مقدار فشار، گستره‌ی دمایی به روش دماسنجدی پلازیوکلاز - هورنبلند [۲۱] و بر اساس واکنش  $\text{edenite} + 4 \text{plaz} = \text{quartz} + \text{albite}$  درجه‌ی سانتی‌گراد است. در جدول ۵، مقادیر فشار و دمای محاسبه شده برای ۹ زوج کانی پلازیوکلاز - آمفیبیول (داده‌ها از جدول‌های ۱ و ۳) آورده شده‌اند. لازم به یادآوری است که پلازیوکلاز در سنگ‌های مورد بررسی، به‌ندرت دارای منطقه‌بندی ترکیبی بوده و اغلب آنها فاقد این منطقه‌بندی هستند (شکل ۲-ب). در اینجا به‌منظور بهره‌گیری از روش دماسنجدی پلازیوکلاز - آمفیبیول، از نتایج آنالیز پلازیوکلازهای فاقد منطقه‌بندی که از نظر بافتی در تعادل با آمفیبیول‌ها تشکیل شده‌اند، بهره‌گرفته شد.

با توجه به این‌که گارنت موجود در تونالیت از نوع فنوکریستی و حاصل تبلور از گدازه‌ی تونالیتی است [۲۳]، لذا استفاده از آن در تعیین مقادیر دما و فشار بیانگ شرایط ترمودینامیکی تبلور گدازه‌ی تونالیتی است. اکنون با توجه به این گستره‌ی دمایی و فشاری، به بررسی کاربرد گارنت به عنوان یک کانی مهم در بررسی‌های ترمودینامیکی تبلور سنگ‌های آذرین منطقه دهنو پردازیم، و با ماهیت حضور آن از نظر شرایط دما و فشار در این سنگ‌ها آشنا می‌شویم.

شده‌اند و محاسبه‌ی فرمول ساختاری آن بر اساس ۸ اتم اکسیژن و با استفاده از روش [۲۲] انجام گرفت. درجات گوناگون سردشدن یا کاهش درجه‌ی اشباع گدازه، همراه با نرخ آهسته انتشار Al و Si، در گدازه و بلورهای پلازیوکلاز می‌تواند عامل منطقه‌بندی پیچیده برخی پلازیوکلازها در نظر گرفته شود.

**گارنت:** گارنت یکی از مهم‌ترین کانی‌های ارتوسیلیکاته در سنگ‌های نفوذی و دگرگونی منطقه‌ی دهنو است، که به صورت درشت‌بلور در سنگ‌های نفوذی منطقه یافت می‌شود. قطر گارنت‌ها در نمونه‌ی دستی در حدود ۲ سانتی‌متر است (شکل ۲-ت) و در مقطع میکروسکوپی شکل ۲-ث، گارنت مورد بررسی با قطر ۳ تا ۵ میلیمتر و به رنگ قهوه‌ای تا قهوه‌ای تیره، خود شکل تا نیمه‌شکل دار دیده می‌شود که مرز خارجی آن بی‌شکل و نامنظم است. از آنجاکه برخی از گارنت‌ها طی فرآیندهای زمین‌ساختی و دگرگونی بعدی دستخوش خردشده‌گی شده‌اند، این پدیده در نمونه‌هایی که میلونیتی شده‌اند به خوبی قابل مشاهده است (شکل ۲-ث). بر اساس برخلاف بررسی‌های پیشین (همانند [۱۲]) که خاستگاه گارنت‌ها را زنوفکریستی معرفی کرده بودند، بررسی‌های اخیر [۲۳] روی گارنت‌های موجود در تونالیت دهنو، نشان می‌دهد که این گارنت‌ها کاملاً ماهیت غیردگرگونی، غیررسوبی و غیرمتاپلیتی دارند و خاستگاه آنها از نوع مگماهی است و به عبارت دیگر این گارنت‌ها دارای خاستگاه فنوکریستی هستند. در شکل ۳-ت، ترکیب گارنت درشت‌دانه تونالیت با گارنت‌های ریزدانه موجود در سنگ‌های دگرگون مجاور توده مقایسه شده است. چنانکه در این تصویر به‌خوبی مشاهده می‌شود، هیچ ارتباط شیمیایی از مرکز تا حاشیه فنوکریستهای گارنت تونالیت با گارنت سنگ‌های دگرگون مشاهده نمی‌شود، و به عبارت بهتر ترکیب شیمیایی گارنت موجود در تونالیت به‌طور یکنواخت (از مرکز تا حاشیه) با گارنت سنگ‌های دگرگون کاملاً تفاوت دارد. علاوه بر این، بر اساس بررسی‌های [۲۴] گارنت‌های دارای  $\text{MnO} < 4\text{wt\%}$  و  $\text{CaO} > 4\text{wt\%}$  ماهیت مگماهی (ماگماهی نوع I یا M) دارند (مانند گارنت موجود در تونالیت، جدول ۴ و [۲۵]) و



شکل ۳ (الف) ردهبندی پلازیوکلازها (برگرفته از [۲۲])؛ (ب) ترکیب بیوتیت‌های موجود در تونالیت دهنو در نمودار تقسیم‌بندی میکاها (برگرفته از [۲۲])؛ (پ) ردهبندی آمفیبول تونالیت دهنو (برگرفته از روش [۲۰]) [Ab=Albite, An=Anorthite, Or=Orthose, Hbl= Hornblende]؛ (ت) مقایسه روند تغییرات عناصر از هسته تا حاشیه گارنت موجود در تونالیت با گارنت موجود در هورنفلس و شیست (داده‌های مربوط به گارنت شیست و هورنفلس برگرفته از [۸]).

جدول ۵ نتایج محاسبه‌ی فشار (بر اساس روش آلومینیم موجود در آمفیبول [۲۷]) و دما (بر اساس روش هورنبلنده - پلازیوکلاز [۲۱] و واکنش نمونه از آمفیبولها (جدول ۱) و پلازیوکلازهای (جدول ۳) موجود در تونالیت دهنو.

Sample No.	Plagioclase	۶۲۰	۶۲۴	۶۲۵	۶۲۹	۶۵۲	۶۵۶	۶۵۷	۶۵۹	۶۶۵	Mean
	Amphibole	۶۰۵	۶۰۶	۶۰۷	۶۱۰	۶۱۱	۶۱۲	۶۱۳	۶۱۴	۶۱۷	
Pressure (kbar)		۶.۳	۶.۶	۶.۶	۶.۶	۶.۶	۶.۴	۶.۲	۶.۳	۶.۴	۶.۴
Temperature (°C)		۶۷۱	۷۰۲	۶۸۶	۶۹۰	۷۱۶	۷۰۰	۷۰۲	۷۱۷	۶۸۶	۶۹۶

دماهای حاکم بر تبلور درشت بلورهای گارنت در تونالیت دهنو از توزیع عناصر بین زوج کانی‌هایی که تعادل کانی‌شناسی و ترمودینامیکی دارند، می‌توان به عنوان ابزاری برای دماسنجی و نیز معیاری برای اندازه‌گیری میزان تعادل شیمیایی هنگام تشکیل سنگ استفاده کرد. بسیاری از جنبه‌های توزیع عناصر بین گارنت و زوج کانی دیگر توسط [۳۶] مورد بررسی قرار گرفته‌اند. در همه‌ی این سیستم‌ها، اساس دماسنجی نسبت توزیع کاتیون‌ها، مخصوصاً Mg و Fe در زوج کانی‌هایی است که تعادل کانی‌شناسی و ترمودینامیکی دارند. چون نسبت توزیع تابعی از دماست، لذا با اندازه‌گیری مقدار کاتیون‌ها در زوج کانی‌ها و با استفاده از منحنی‌های واپسیه می‌توان دمای تشکیل سنگ را شناخت. ترکیب شیمیایی گارنت و کانی‌های همراه موجود در سنگ می‌تواند بیانگر فشار و دمای‌های بالا باشد. هم‌رشدی این کانی‌ها نشان می‌دهد که یک تعادل ماقمایی بین کانی‌ها وجود دارد که از آن می‌توان برای بررسی شرایط دما و فشار تشکیل گارنت استفاده کرد.

گارنت‌های آذرین اولیه دارای مفاهیم خاستگاهی متفاوتی هستند، زیرا ترکیب آنها واپسیه به نوع ماقما و فشار و دمایی است که بر اثر آن‌ها متبلور شده‌اند [۲۹-۳۷]. مثلاً مجموعه کانی‌های گارنت + پلازیوکلاز + آمفیبول در فشار ۱۳-۸ کیلوبار و دمای ۸۲۰-۹۲۰ درجه‌ی سانتی‌گراد در یک گدازه‌ی داسیتی هم‌رشدی این کانی‌ها نشان می‌دهد که از آن می‌توان برای بررسی شرایط دما و فشار تشکیل گارنت استفاده کرد.

بنابر ادعای [۳۰] آلماندینی که در دمای گدازه‌ی سنگ‌های آندزیتی یا داسیتی دیده می‌شود، حاصل ذوب‌بخشی رسوب‌های پلیتی در فشار بیشتر از ۹ کیلوبار (در اعمق بیشتر از ۲۵ کیلومتری) است، درحالی که اسپسارتین با درصد مولی کمتر از ۱۰٪، نشان‌دهنده‌ی تشکیل گارنت در اعمق بیشتر از ۱۸ کیلومتری است [۳۰-۳۴]. این بررسی‌های تجربی به خوبی واپسیگی بین شرایط P-T بالا (غنى از آلماندین) و شرایط P-T پایین (غنى از اسپسارتین) را در گارنت موجود در سنگ‌های گرانیت‌وییدی تأیید می‌کند.

به گفته‌ی [۳۸]، گارنت‌های بانسبت درجه‌ی سانتی‌گراد تشکیل نمی‌شوند که این نسبت در گارنت‌های موجود در تونالیت دهنو در حدود ۰,۰۳ تا ۰,۱ است که مؤید تشکیل این گارنت‌ها در دمایی بالاتر از ۴۷۰°C است.

فشار حاکم بر تبلور درشت بلورهای گارنت در تونالیت دهنو آزمایش‌های انجام گرفته روی سنگ‌های آتشفسانی مانند آندزیت، داسیت و ریوداسیت [۲۸-۳۰] نشان می‌دهند که گارنت‌ها در ماقم‌های با فشار ۵ تا ۷ کیلوبار ناپایدار می‌شوند. نتایج مشابهی نیز از ذوب سنگ‌های گری و ک، پلیت و گنایس تونالیتی به دست آمدند [۳۱-۳۳]. همچنین بنابر [۳۴]، افزایش مقدار MnO گارنت (محتوای اسپسارتین) می‌تواند موجب افزایش گستره‌ی پایداری گارنت تا فشارهای پایین‌تر شود. در حقیقت، بر اساس پیشنهاد [۳۴]، میزان گروسو لار و اسپسارتین موجود در گارنت نسبت به شرایط فشار و دما حساس است، به طوری که گروسو لار موجود در گارنت با افزایش فشار افزایش یافته، در حالی که محتوای بالاتر Mn می‌تواند موجب پایداری گارنت در عمق‌های کمتر شود. لذا گارنت غنی از Mn ( $MnO > 4 \text{ wt\%}$ ) می‌تواند از گدازه‌های سیلیسی و در فشار  $\geq 5$  کیلوبار متبلور شود. با توجه به اینکه کاهش مقدار MnO گارنت (محتوای اسپسارتین) می‌تواند موجب افزایش گستره‌ی پایداری گارنت تا فشارهای بالاتر (بیشتر از ۵ کیلوبار) شود [۳۴]، با بررسی ترکیب گارنت موجود در تونالیت (جدول ۴) مشاهده می‌شود که گارنت موجود در آنها دارای مقدار بالای Ca و Mg و میزان  $Fe^{2+}$  کمتر بوده [۲۳]، و با استناد به یافته‌های مرجع یاد شده، تشکیل گارنت موجود در تونالیت، در فشارهای بالاتر از ۵ کیلوبار به خوبی تأیید می‌شود.

بر اساس بررسی‌های [۳۵] بر روی گارنت‌های نوع I داسیت‌های ستوچی و نیز دستاوردهای این کار پژوهشی روی گارنت‌های درون تونالیت دهنو، مشاهده می‌شود که آنها از اسپسارتین فقیر بوده (کمتر از ۷ درصد در ستوچی و کمتر از ۳ درصد در دهنو) و با کردیریت هم‌زیستی ندارند؛ بنابراین بنابر پیشنهاد [۳۵]، فنوکریستهای گارنت حاصل از ماقما در فشار ۵ تا ۷ کیلوبار تهشیش شده‌اند. این مقدار فشار با مقادیر فشاری که از طریق فشارسنجی آمفیبول‌های ماقمایی موجود در تونالیت منطقه دهنو به دست آمداند (فشار میانگین  $6/4$  کیلوبار، [۲۳]) همخوانی دارد. از سوی دیگر، [۲۵] معتقد است که گارنت اولیه با MnO بالا، پایین که همراه با پلازیوکلاز غنی از Ca، هورنبلند و بیوتیت دیده می‌شود، می‌تواند در فشار بالا (۷ تا ۱۲ کیلوبار) تشکیل شود. این مسئله به خوبی حاکی از عمق نسبتاً بیشتر تشکیل گارنت نسبت به آمفیبول‌هاست.

آنزیتی در ۹۰۰ تا ۹۵۰ درجه‌ی سانتی‌گراد و فشار بیشتر از ۷ کیلوبار تشکیل می‌شود [۴۳،۴۲،۴۰،۲۹،۲۵]، ولی در تونالیت منطقه‌ی دهنو تشکیل گارنت‌ها (با توجه به ترکیب شیمیایی مشابه گارنت‌ها در هر دو بررسی) که در یک گدازه‌ی سیلیسی تر و اسیدی‌تر شکل گرفته‌اند در دمای کمتر (۸۰۰ الی ۹۵۰ درجه‌ی سانتی‌گراد) و فشار کمتری (۷ الی ۱۲ کیلوبار) امکان‌پذیر بوده است.

#### برداشت

هورنبلند بیوتیت تونالیت مزوژوئیک رخنمون یافته در غرب دهنو با بافت دانه‌ای و شامل کانی‌های کوارتز، پلاژیوکلاز کلسیمی‌دار (آنزیت تا لابرادریت)، گارنت (بیشتر آلماندین)، بیوتیت (آنیت تا سیدروفیلیت)، آمفیبول کلسیک (بیشتر فروهورنبلند) و کانی‌های فرعی کلریت، اپیدوت، کلسیت و ایلمنیت است.

با توجه به روش فشارسنجی آلومینیم در آمفیبول [۲۷] و روش دماسنجی هورنبلند-پلاژیوکلاز [۲۱]، گستره‌ی میانگین فشار و دمای تشکیل آمفیبول موجود در تونالیت ۶/۴ کیلوبار و ۶۹۶ درجه‌ی سانتی‌گراد به‌دست آمد. با توجه به اینکه گارنت موجود در تونالیت از نوع فنوکریستی و حاصل تبلور از خود گدازه‌ی تونالیتی است [۲۲]، لذا مقادیر دما و فشار تبلور آن باید با مقادیر دما و فشار تبلور گدازه‌ی تونالیتی همخوانی داشته باشد. بر اساس بررسی‌های شیمیایی و بررسی شیمی کانی‌ها، گارنت موجود در تونالیت منطقه‌ی دهنو غالباً از نوع آلماندین است. میزان  $\text{CaO}$  موجود در این گارنت‌ها در حدود ۴/۹۱ تا ۵/۴۸ درصد وزنی و میزان  $\text{MnO}$  آنها در حدود ۱/۸۹ تا ۲/۴۰ درصد وزنی است، به این ترتیب مشاهده شد که گارنت موجود در تونالیت دارای مقدار بالای  $\text{Mg}$  و  $\text{Ca}$  و مقدار پایین  $\text{Fe}^{2+}$  و  $\text{Mn}$  بوده و با استناد به نتایج بررسی‌های پیشین  $\text{CaO} > 4 \text{ wt\%}$  [۳۷-۳۴،۳۲،۳۰،۲۹،۲۸]، (یعنی آلماندین با  $\text{CaO} < 4 \text{ wt\%}$ )، تشکیل گارنت موجود در تونالیت، در فشارهای بالاتر از ۶/۴ و حتی ۷ تا ۱۲ کیلوبار به خوبی تأیید می‌شود. همچنین با توجه به یافته‌های پژوهشگران در مورد شرایط دمایی حاکم بر تشکیل گارنت منطقه‌ی دهنو را که دارای  $\text{CaO}$  بالا،  $\text{MnO}$  پایین و پلاژیوکلاز هستند، می‌توان به شرایط بالاتر از دمای محاسبه شده‌ی  $\text{Ca}$  درجه‌ی سانتی‌گراد (بر اساس زمین‌دماسنج هورنبلند-

در واقع، گارنت اولیه با  $\text{CaO}$  بالا،  $\text{MnO}$  پایین و همراه با پلاژیوکلاز غنی از  $\text{Ca}$ ، در فشار بالا (۷ تا ۱۲ کیلوبار)، دمای (۸۰۰ الی ۹۴۰ درجه‌ی سانتی‌گراد) و همراه با هورنبلند و بیوتیت دیده می‌شود [۲۵]؛ بنابراین گارنت‌های موجود در تونالیت منطقه‌ی دهنو که خاستگاه فنوکریستی دارد [۲۳] و دارای  $\text{CaO}$  بالا،  $\text{MnO}$  پایین (جدول ۴) و همراه با پلاژیوکلاز  $\text{Ca}$  دار (جدول ۳) هستند نیز در چنین شرایط مشابه فشار و دما تشکیل شده‌اند. به عبارت دیگر این مسئله با توجه به میزان میانگین فشار محاسبه شده بر اساس فشار تشکیل آمفیبول‌ها که در حدود ۶/۴ کیلوبار است، و عمق تشکیل کمتر آنها نسبت به گارنت و نیز متوسط دمای محاسبه شده برای تبلور آمفیبول و پلاژیوکلاز (جدول ۵) که تقریباً معادل ۶۹۶ درجه‌ی سانتی‌گراد به‌دست آمده تأیید می‌شود و نشان می‌دهد که گارنت‌هایی که در عمق بیشتری نسبت به آمفیبول‌ها تشکیل شده‌اند، می‌توانسته‌اند دارای دمای تبلوری از ۸۰۰ تا ۹۴۰ درجه‌ی سانتی‌گراد باشند.

بنابر [۳۰] گارنت غنی از آلماندین موجود در ماگماهای سیلیسی، یک فاز میان یا نزدیک به شرایط میان است که در شرایط فشار بالا (۹ تا ۱۸ کیلوبار) پایدار می‌ماند. بررسی‌های بعدی [۴۳-۳۹،۳۴،۲۹] نشان داد که آلماندین غنی از کلسیم ( $\text{CaO} > 4 \text{ wt\%}$ ) و فقیر از منگنز ( $\text{MnO} < 4 \text{ wt\%}$ ) می‌تواند از ماگماهای آندزیتی آبدار و در فشارهای نسبتاً بالا (بیش از ۷ کیلوبار) و دماهای ۹۰۰ تا ۹۵۰ درجه‌ی سانتی‌گراد متبلور شود.

بر اساس بررسی‌های شیمی کانی‌ها، گارنت موجود در تونالیت منطقه‌ی دهنو غالباً از نوع آلماندین است. میزان  $\text{CaO}$  موجود در این گارنت‌ها در حدود ۴/۹۱ تا ۵/۴۸ درصد وزنی و میزان  $\text{MnO}$  آنها در حدود ۱/۸۹ تا ۲/۴۰ درصد است (جدول ۴). این مقادیر نشان می‌دهند که گارنت‌های مورد بررسی با معیارهای یاد شده همخوانی دارند، یعنی دمای تشکیل آنها بیشتر از ۴۷۰ درجه‌ی سانتی‌گراد پیشنهاد شده توسعه [۳۸] و کمتر از ۹۵۰-۹۰۰ درجه‌ی سانتی‌گراد پیشنهاد شده توسعه [۴۳-۳۹،۳۴،۲۹] است. با توجه به آنچه گفته شد، و نیز نتایج کاربرد روش دماسنجی آمفیبول-پلاژیوکلاز برای تونالیت مورد بررسی (که در آن دمایی در حدود ۶۹۶ درجه‌ی سانتی‌گراد، در فشار متوسط ۶/۴ کیلوبار به‌دست آمده)، و نیز [۲۵] این مسئله به خوبی تأیید می‌شود که گارنت در یک گدازه‌ی حدوداً ۶۹۶ درجه‌ی سانتی‌گراد (بر اساس زمین‌دماسنج هورنبلند-

- تهران، (۱۳۷۰) ۲۵۰ ص.
- [۱۴] هاتفی، ره، "مطالعه سنگ‌های دگرگونی ناحیه‌ای و توده‌های نفوذی منطقه دمنو (شمال‌غرب مشهد)"، پایان‌نامه کارشناسی ارشد، دانشگاه تربیت معلم تهران، (۱۳۸۲) ۱۱۲ ص.
- [۱۵] Karimpour M.H., Farmer L., Ashouri C., Saadat S., "Major, Trace and REE geochemistry of Paleo-Tethys Collision-Related Granitoids from Mashhad, Iran", Journal of Sciences, Islamic Republic of Iran 17(2) (2006) 127-145.
- [۱۶] Karimpour M.H., Stern C.R., Farmer L., "Zircon U-Pb geochronology, Sr-Nd isotope analyses, and petrogenetic study of the Dehnow diorite and Kuhsangi granodiorite (Paleo-Tethys), NE Iran", Journal of Asian Earth Sciences 37 (2010) 384-393
- [۱۷] Alberti A., Nicoletti M., Petrucciani C., "K-Ar ages of micas of Mashhad granites (Khorasan, North-Eastern Iran)", Period, Mineralogy 42 (1973) 483-493.
- [۱۸] Homam S.M., "The occurrence and origin of atoll garnet in hornblende schists from the contact aureole of the Mashhad granite, NE Iran", Iranian Journal of Science and Technology 30 A1 (2006) 127-132.
- [۱۹] Yuan C., Sun M., Xiao W., Wilde S., Li X., Liu X., Long X., Xia X., Ye K., Li J., "Garnet-bearing tonalitic porphyry from East Kunlun, Northeast Tibetan Plateau: implications for adakite and magmas from the MASH Zone", International Journal of Earth Sciences (2008) DOI 10.1007/s00531-008-0335-y.
- [۲۰] Leake B.E., Woolley A.R., Arps C.E.S., Birch W.D., Gilbert M.C., Grice J.D.F., Hawthorne C., Kato A., Kisch H.J., Krivovichev V.G., Linthout K., Laird J., Mandarino J., Maresch W.V., Nickel E.H., Rock N.M.S., Schumacher J.C., Smith D.C., Stephenson N.C.N., Ungaretti E.J.W., "Nomenclature of amphiboles, Report of the Subcommittee on Amphiboles of the International Mineralogical Association Commission on New Minerals and Mineral Names", European Journal of Mineralogy 9 (1997) 623-651.
- [۲۱] Holland T., Blundy J., "Nonideal interactions in clastic amphiboles and their bearing on amphibole-plagioclase thermometry", Contributions to Mineralogy and Petrology 116 (1994) 433-447.
- [۲۲] Deer W.A., Howie R.A., Zussman J., "An Introduction to the Rock forming Minerals", Longmans (1992) 696 p.

پلازیوکلаз) تا ۸۰۰ الی ۹۵۰ درجه سانتی‌گراد و عمق تبلور بیشتر آنها نسبت به آمفیولوها و پلازیوکلازها نسبت داد.

#### مراجع

- [۱] شیردشتزاده ن، صمدی ره، "آشنایی با روش‌های زمین‌دماسنجدی و زمین‌فسارسنجدی"، اصفهان، (۱۳۸۹) ۹۹ ص.
- [۲] Deer W.A., Howie R.A., Zussman J., "Rock Forming Minerals, Double Chain Silicates", 2<sup>nd</sup> Edition, London, Bath, Geological Society of London 2B (1997) 764 p.
- [۳] Razavi M.H., Masoudi, F., Alaminia, Z., "Garnet-Biotite Chemistry for Thermometry of Staurolite Schist from South of Mashhad, NE Iran", Journal of Sciences, Islamic Republic of Iran 19(3) (2008) 237-245.
- [۴] Alavi M., Majidi B., "Petrology and geology of metamorphic and intrusive rocks of the Mashhad area", Geological Survey of Iran (1972).
- [۵] Alavi M., "Sedimentary and structural characteristics of the Paleo-Tethys remnants in northeastern Iran", Geological Society of America Bulletin 103 (1991) 983-992.
- [۶] Alavi M., "Thrust tectonics of the Binalood region, NE Iran", Tectonics 11(2) (1992) 360-370.
- [۷] Lammerer B., Langheinrich G., Danai M., "The tectonic evolution of Binaloud mountains. Geodynamic project (Geotraverse) in Iran", Geological Survey of Iran 51 (1983) 519 P.
- [۸] صمدی ره، ولی‌زاده م. و، میرنژاد ح، کلوباتا مه، "زمین‌دماسنجدی و زمین‌فسارسنجدی سنگ‌های دگرگونی منطقه دمنو (شمال‌غرب مشهد)"، فصلنامه علوم زمین، (۱۳۸۹) (در حال چاپ).
- [۹] Majidi B., "Etude Petrostructurale de la ergion de Mashhad (Iran)", These docteur, Ingenieur, University Science, de Grenoble, France (1978) 277 p.
- [۱۰] Majidi B., "The geochemistry of ultrabasic and basic lava flows occurrences in northeastern Iran. In: Geodynamic Project in Iran", Geological Survey of Iran report 51 (1983) 463-477.
- [۱۱] Moazez Lesco Z., Plimer I.R., "Intrusive and Polymetamorphic Rocks of the Darakht-Bid Area, near Mashhad, Iran", Band 68(1) (1978) 318-383.
- [۱۲] Plimer I.R., Moazez Lesco Z., "Garnet Xenocrysts in the Mashhad Granite, NE Iran", Geologische Rundschau 69(3) (1980) 801-810.
- [۱۳] میرنژاد ح، "ژئوشیمی و پتروگرافی گرانیتها و پگماتیتها مشهد"، پایان‌نامه کارشناسی ارشد، دانشگاه

- [33] Patinao Douce A.E., Johnston A.D., "Phase equilibria and melt productivity in the pelitic system: implications for the origin of peraluminous granitoids and aluminous granulites", Contributions to Mineralogy and Petrology 107 (1991) 202-218.
- [34] Green T.H., "Garnet in Silicic liquids and its possible use as a P-T indicator", Contributions to Mineralogy and Petrology 65 (1977) 59-67.
- [35] Kawabata H., Takafuji N., "Origin of garnet crystals in calc-alkaline volcanic rocks from the Setouchi volcanic belt, Japan", Mineralogical Magazine 69 (2005) 951-971.
- [36] Kretz R., "Chemical study of garnet, biotite and hornblende from gneisses of Southwestern Quebec, with emphasis on the distribution of elements in co-existing minerals", Journal of Geology 67 (1959) 371-402.
- [37] Green T.H., "Garnet in Silicic liquids and its possible use as a P-T indicator", Contributions to Mineralogy and Petrology 65 (1977) 59-67.
- [38] Spear F.S., Cheney J.T., "A petrogenetic grid for pelitic schists in the system  $SiO_2 - Al_2O_3 - FeO - MgO - K_2O - H_2O$ ", Contributions to Mineralogy and Petrology 101 (1989) 149-164.
- [39] Hensen D.J., Green D.H., "Experimental study of the stability of cordierite and garnet in pelitic compositions at high pressures and temperatures", Contributions to Mineralogy and Petrology 38 (1973) 151-166.
- [40] Green T.H., Hellman P.L., "Fe-Mg partitioning between coexisting garnet and phengite at high pressure, and comments on a garnet-phengite geothermometer", Lithos 15 (1982) 253-266.
- [41] Green T.H., "Experimental generation of cordierite or garnet-bearing granitic liquids from a pelitic composition", Geology 4 (1976) 85-88.
- [42] Clemens J.D., Wall V.J., "Origin and crystallization of some peraluminous (S-type) granitic magmas", The Canadian Mineralogist 19 (1981) 111-131.
- [43] Conrad W.K., Nicholls I.A., Wall V.J., "Water saturated and undersaturated melting of metaluminous and peraluminous crustal compositions at 10 kb: Evidence for the origin of silicic magmas in the Taupo Volcanic Zone, New Zealand, and other occurrences", Journal of Petrology 29 (1988) 765-803.
- [۲۳] [۲۳] صمدی ر., شیردشتزاده ن., "گارنت: مفاهیم کانی‌شناسی، خاستگاه و زمین‌دماخشار سنگی", مشهد (۱۳۸۹)، صفحه ۵۰-۲۱
- [24] Harangi S.Z., Downes H., Ko'sa L., Szabo' C.S., Thirlwall M.F., Mason P.R.D., "Almandine garnet in calc-alkaline volcanic rocks of the Northern Pannonian Basin (Eastern-Central Europe): geochemistry, petrogenesis and geodynamic implications", Journal of Petrology 42 (2001) 1813-1843.
- [25] Samadi R., Mirnejad H., Shirdashtzadeh N., Kawabata H., "Petrology of tonalitic rocks of Dehnow (Northwest of Mashhad, Iran)", Proceeding 1<sup>st</sup> International Applied Geological Congress (2010) 1265.
- [26] Kenah C., Hollister L.S., "Anatexis in the Central Gneiss Complex, British Columbia, in Migmatites, Melting and Metamorphism", edited by Atherton M.P., Gribble C.D., Nantwich, England (1983) 142-162.
- [27] Schmidt M.V., "Amphibole composition in tonalite as a function of pressure: an experimental calibration of the Al in hornblende barometer", Contributions to Mineralogy and Petrology 110 (1992) 304-310.
- [28] Green T.H., "Crystallization of calc-alkaline andesite under controlled high-pressure hydrous conditions", Contributions to Mineralogy and Petrology 34 (1972) 150-166.
- [29] Green T.H., "Experimental phase equilibrium studies of garnet-bearing I-type volcanics and high-level intrusives from Northland, New Zealand", Trans R Soc Edinb Earth Science 83 (1992) 429-438.
- [30] Green T.H., Ringwood A.E., "Origin of Garnet Phenocrysts in Calc-Alkaline Rocks", Contributions to Mineralogy and Petrology 18 (1968) 163-174.
- [31] Skjerlie K.P., Johnston A.D., "Fluid-absent melting behavior of an F-rich tonalitic gneiss at mid-crustal pressures; implications for the generation of anorogenic granites", Journal of Petrology 34 (1993) 785-815.
- [32] Vielzeuf D., Montel J.M., "Partial melting of metagreywackes, Part I. Fluid-absent experiments and phase relationships", Contributions to Mineralogy and Petrology 117 (1994) 375-393.